

تعیین منحنی‌های تپه اصطکاک در حین نورد سرد صنعتی ورق‌های آلومینیومی با استفاده از نرم‌افزار *MATROLL*

حسین عبدالهی علی بیکⁱ; کامران دهقانیⁱⁱ

چکیده

فرایند نورد سرد ورق، یکی از روش‌های رایج شکل‌دادن فلزات است و تولیدات حاصل از این فرایند، بخش مهمی از محصولات فلزی را در بر می‌گیرند. بنابراین کنترل دقیق این فرایند و آگاهی از پارامترهای مختلف موثر بر آن در حین یک فرایند واقعی نورد سرد ورق را لازم می‌نماید. یکی از عوامل بسیار مهم در حین فرایند نورد سرد آگاهی از نحوه توزیع فشار یا منحنی تپه فشار (تپه اصطکاک) می‌باشد که توزیع فشار غلتک‌ها را در منطقه تغییر شکل ورق نشان می‌دهد.

در این پژوهش از یک نرم‌افزار جدید (*MATROLL*) برای محاسبات و بهینه‌سازی فرایند نورد سرد ورق‌های آلومینیومی استفاده شد که این نرم‌افزار قادر است با دریافت اطلاعات اولیه یک نورد واقعی صنعتی، علاوه بر محاسبه نزدیک به ۳۰ پارامتر نورد، منحنی تپه فشار را نیز رسم نماید. در ادامه چهار پاس نورد سرد واقعی بر روی یک کویل از محصولات نورد گرم آلومینیوم صورت گرفت و با قرار دادن اطلاعات آن در مدل کامپیوتری یاد شده، محاسبات نورد انجام گرفت و منحنی‌های تپه فشار برای پاس‌های مختلف فرایند رسم شد. با مقایسه نتایج بدست آمده از مدل با نتایج ارائه شده از سوی سایر محققین در تمامی موارد، برابری بسیار خوبی دیده شد.

کلمات کلیدی

نورد سرد، منحنی تپه فشار، نرم‌افزار *MATROLL*

Plotting The Friction Hills During The Real Industrial Cold Rolling of Sheet

H. Abdollahi Ali Beik; K. Dehghani

ABSTRACT

Rolling process is one of the most important way of metal forming. The results of this process are almost finished product, therefore controlling the parameters effecting this process is very important in order to have cold rolling products with high quality. Among the related parameters, the pressure distribution or friction hill within the roll gap is known as the most significant one.

In this study using in new software (*MATROLL*), after rolling calculation, this process is optimize for producing cold rolled sheets. This software is able to plot the friction hills as well as calculating about 30 rolling parameters. To verify the software operation, the real industrial rolling was carried out on two coils of hot rolled products of Aluminum. The obtained results are in good agreements with the findings other researchers.

KEYWORDS

Cold rolling, Friction Hill, *MATROLL* software

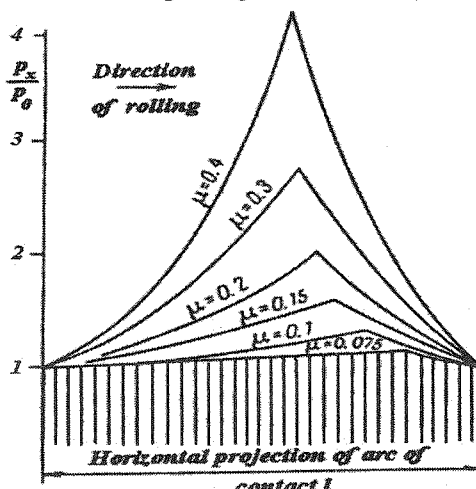
ⁱ کارشناس ارشد مهندسی مواد و متالورژی، دانشگاه صنعتی امیرکبیر، دانشکده مهندسی معدن و متالورژی، نشانی پست الکترونیک:

Email : abdollahi.hosseini@gmail.com

ⁱⁱ دانشیار دانشگاه صنعتی امیرکبیر، دانشکده مهندسی معدن و متالورژی، نشانی پست الکترونیک

۱- مقدمه

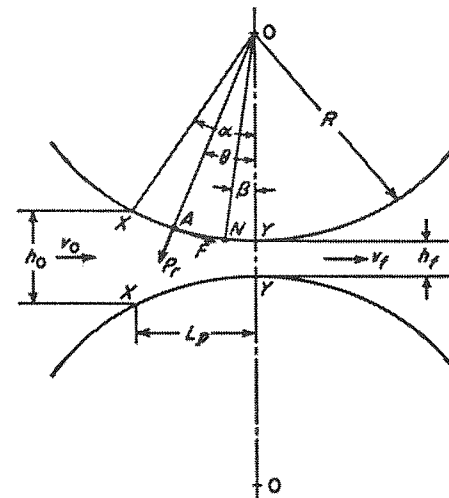
اصطکاکی در طول قوس تماس در این نقطه عوض می‌شود [۸]. منحنی‌های تپه فشار یا بلندی اصطکاک در واقع توزیع فشار غلتکها به فلز در حال نورد را نشان می‌شود. همانگونه که در شکل ۲ نشان داده شده است شکل این منحنی‌ها به این صورت است که در آنها فشار غلتک روی قوس تماس از نقطه ورودی ورق به تدریج تا نقطه خنثی زیاد شده تا به یک ماکزیمم می‌رسد و سپس تا نقطه خروجی افت می‌کند.



شکل(۲): منحنی‌های تپه فشار و اثر ضریب اصطکاک بر آنها [۸]

این واقعیت که فشار ماکزیمم نورد بر خلاف آنچه در مباحث تئوری نورد فرض می‌شود به صورت یک حداقل تیز ظاهر نمی‌شود نشان دهنده این است که نقاط خنثی روی یک خط قرار نمی‌گیرند بلکه در واقع روی یک سطح واقع می‌شوند. از اهمیت‌های تپه فشار این است که سطح زیر منحنی تپه فشار با بار نورد متناسب است بنابراین برای انجام محاسبات بسیار دقیق نورد، باید ابتدا ضریب اصطکاک تعیین و سپس تپه فشار یا اصطکاک رسم شده و آنگاه از سطح زیر منحنی یاد شده انگرال‌گیری شود. این مراحل همان مراحلی هستند که در نرم-افزار MATROLL اجرا می‌شوند. دلیل اصلی مورد توجه قرار گرفتن روش ترسیمی تپه فشار این است که در میان روش‌های فراوان، این روش درصد خطای بسیار کمتری دارد زیرا برای رسم منحنی، روی قوس تماس نقاط مختلفی در نظر گرفته می‌شود و نتیجه محاسبه بار نورد از طریق انگرال‌گیری و محاسبه جزء به جزء سطح زیر منحنی بدست می‌آید و بیشتر محققین تیز آن را به عنوان روشی معتبر می‌شناسند [۷ و ۸]. به طور کلی، تغییرات فشار از نقطه ورود ورق به غلتکها تا نقطه خنثی را با P^- و تغییرات فشار از نقطه خنثی تا نقطه خروجی را با P^+ نشان داده و مطابق روابط ۱ و ۲ محاسبه می‌نمایند [۷، ۸].

یکی از مهمترین پارامترهای فرایند نورد، ضریب اصطکاک بین غلتک و ورق در حین نورد می‌باشد. به دلیل اهمیت اصطکاک، تئوری‌های گوناگون در رابطه با توزیع نیروهای اصطکاک و فشار حاصل از آن روی قوس تماس بیان شده است [۱] - [۴]. بعضی از محققین حتی روش‌های پیشرفته‌ای چون روش اجزاء محدود را برای بررسی ضریب اصطکاک در منطقه تغییرشکل در نورد به ناحیه‌ای گفته می‌شود که در آن ناحیه غلتک در تماس مستقیم با ورق قرار دارد و کاهش ضخامت در این منطقه از غلتک صورت می‌گیرد [۷]. شکل ۱ شماتیکی از یک فرایند نورد و منطقه تغییر شکل را نشان می‌دهد که در آن نقطه X محل ورودی ورق به غلتکها و نقطه Y محل خروجی ورق از غلتکها می‌باشد که منطقه واقع شده بین این دو نقطه همان منطقه تغییر شکل ورق است.



شکل(۱): شماتیکی از فرایند نورد ورق [۷]

با توجه به این شکل، به هر نقطه از سطح تماس در حین فرایند نورد دو نیروی عمودی P_r و نیروی اصطکاک F وارد می‌شود. در هر نقطه از محدوده بین صفحه ورودی ورق به غلتک‌های نورد تا نقطه خنثی نقطه A ، جهت نیروی اصطکاک به طرف داخل غلتکها و در جهت کشیده شدن ورق به درون منطقه تغییرشکل است. در محدوده بین نقطه خنثی تا صفحه خروجی ورق نیز جهت نیروی اصطکاک دوباره به سمت درون منطقه تغییرشکل است، البته در جهت جلوگیری از خروج ورق از بین غلتکها می‌باشد، بنابراین نقطه خنثی نقطه‌ای است که نیروی اصطکاک در آن صفر است و جهت نیروهای

هین نورد واقعی و صنعتی ورق‌های آلومینیومی می‌باشد که برای اولین بار ارائه می‌شوند و در هیچ مرجع دیگری وجود ندارند. چون تاکنون تمام منحنی‌های تپه فشار بطور شماتیک و فرضی و براساس نوردهای آزمایشگاهی و با درنظرگیری مقادیر فرضی برای ضربی اصطکاک و با خطای بسیار زیاد رسم می‌شده‌اند. در پایان، در مورد عملکرد صحیح و قابلیت و توانایی بالای نرم‌افزار بحث شده است.

۲- روش تحقیق

از آنجا که فرایند نورد یک تغییرشکل دو بعدی و یا به گفته رایج، کرنش صفحه‌ای است لازم است جهت محاسبات با نرم‌افزار ابتدا منحنی تنش تسلیم فشاری در حالت دو بعدی بر حسب درصد کاهش سطح برای هر آلیاژ به دست آید. پس در گام نخست آزمایش فشار در حالت کرنش صفحه‌ای برای رسم منحنی تنش تسلیم فشاری دو بعدی - کاهش سطح بر روی نمونه‌هایی از آلیاژهای مختلف آلومینیوم صورت گرفت. در این آزمایش، مقادیر تنش مربوط به درصدهای کاهش سطح مقطع مختلف بدست آمده و در جدولی مرتب شده و از روی این اطلاعات، منحنی‌های $S-r$ برای این آلیاژها رسم شدند. گفتنی است که برای این آزمایشات از نمونه‌های آنلی شده استفاده شد. طراحی نرم‌افزار *MATROLL* به گونه‌ای است که قادر خواهد بود از اطلاعات این نمودارها استفاده کرده و با توجه به درصد کاهش سطح مقطع در هر لحظه در منطقه تغییر شکل، تنش تسلیم هر نقطه از طول قوس تماس را محاسبه و در فرمولهای ۱ و ۲ قرار داده تا فشار مربوط به هر نقطه در طول قوس تماس بدست آید.

در تهیه این نرم‌افزار، روش مناسب برای اندازه‌گیری ضربی اصطکاک، روش *Avitzur* در نظر گرفته شد. چون در این روش، نزدیک به تمامی پارامترهای موثر بر ضربی اصطکاک در نظر گرفته شده است. معادله ۴ برای اندازه‌گیری ضربی اصطکاک توسط *Avitzur* از [۱۱] :

$$\mu = \frac{\frac{1}{2} \sqrt{\frac{h_a}{R}} \left[\ln\left(\frac{h_a}{h_b}\right) + \left(\frac{1}{4} \sqrt{\frac{h_a}{R}} \sqrt{\frac{h_b}{h_a} - 1} + \frac{t_a - t_b}{2} \right) \right]}{\frac{\sqrt{3}}{\sqrt{3}} \sigma \sqrt{\frac{h_a}{h_b} - 1}}$$

$$(4)$$

که در رابطه ۴ t_b تنش عقب‌کش، t_a تنش جلوکش، R شعاع غلتک، h_b ضخامت ورودی ورق، h_a ضخامت خروجی ورق و σ تنش سیلان است. بنابراین مطابق این تئوری، از مقادیر تنش‌های جلوکش و عقب‌کش، شعاع غلتک کاری و همچین ضخامت‌های

$$P^+ = \frac{S.h}{h_f} e^{\mu H} \left(1 - \frac{t_a}{S_f} \right) \quad (1)$$

$$P^- = \frac{S.h}{h_0} e^{\mu(H_b - H)} \left(1 - \frac{t_b}{S_0} \right) \quad (2)$$

در روابط ۱ و ۲، t_a و t_b به ترتیب تنش‌های جلوکش و عقب‌کش در هین نورد، S_f و S_0 به ترتیب تنش‌های تسلیم ورق در هنگام ورود و خروج از منطقه تغییرشکل، H و H_b ثابت قابل محاسبه و h_f و h_0 ضخامت ورودی و خروجی ورق به منطقه تغییر شکل می‌باشند. همچنین S ، h و μ به ترتیب تنش تسلیم و ضخامت لحظه‌ای ورق در هر نقطه دلخواه از قوس تماس و ضربی اصطکاک می‌باشند. مقدار تنش تسلیم دو بعدی لحظه‌ای، بر حسب درصد کاهش سطح مقطع تا آن نقطه، از روی منحنی تنش تسلیم فشاری دو بعدی - کاهش سطح (منحنی $S-r$) بدست R می‌آید. مقدار h از رابطه ۳ قابل محاسبه است که در آن R شعاع غلتک نورد و φ زاویه لحظه‌ای مربوط به h لحظه‌ای در قوس تماس می‌باشد:

$$h = h_f + R \varphi^2 \quad (3)$$

به این ترتیب با در نظر گرفتن مقادیر مختلفی از φ می‌توان مقادیر فشار لحظه‌ای را در هر نقطه از قوس تماس محاسبه نمود و سپس منحنی تپه فشار را برای نورد رسم نمود. در این روش هرچه تعداد نقاط بیشتری انتخاب شود دقت تپه فشار رسم شده بیشتر خواهد بود.

در تحقیق حاضر، از نرم‌افزار جدیدی به نام *MATROLL* که توسط نویسندهای مقاله توسعه داده شده و قابلیت رسم منحنی‌های تپه فشار و محاسبه تمام پارامترهای مهم در هین یک فرایند نورد واقعی یا صنعتی را دارد، استفاده شده است [۹]. [۱۰]. نرم‌افزار *MATROLL* بر اساس تئوری‌های موجود نورد و روابط ریاضی حاکم بر آن طراحی و برنامه‌نویسی شده است. از نقاط قوت و بارز این نرم‌افزار این است که در محاسبات نورد، از مقادیر فرضی استفاده نمی‌کند، به این مفهوم که نرم‌افزار پارامترهایی نظری درصد لغزش به جلو و ضربی اصطکاک را بر اساس تئوری‌های معتبر نورد محاسبه نموده و سپس با کمک این پارامترها، سایر محاسبات نورد را انجام داده و اقدام به رسم منحنی‌های تپه فشار برای حالت‌ها و شرایط مختلف نورد می‌نماید. برنامه‌نویسی نرم‌افزار گفته شده در محیط برنامه‌نویسی ویژوال دلفی ۶ انجام گرفته است. بنابراین، هدف از تحقیق حاضر، رسم یکی از مهمترین پارامترهای نورد، یعنی منحنی‌های تپه فشار یا تپه اصطکاک در

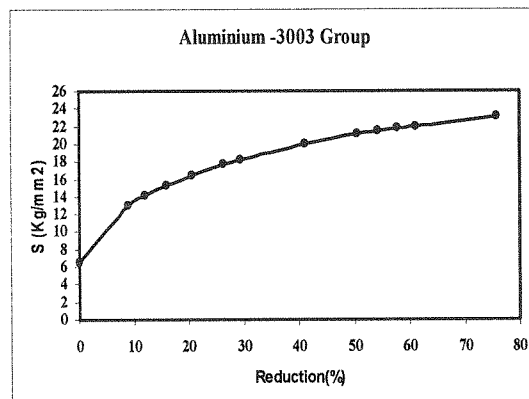
کاهش بزرگنمایی و همچنین ارسال نمودار مورد نظر به چاپگر می‌باشد.

در ادامه تحقیق حاضر، جهت رسم منحنی‌های تپه فشار یا بلندی اصطکاک برای نورد صنعتی آلومینیوم، چهار پاس نورد سرد واقعی روی یک کویل از محصولات نورد گرم از آلیاژهای ۳۰۰۳ آلومینیوم با یک دستگاه نورد چهار گلتکی رفت و برگشتی صورت گرفت. برای هر پاس، شرایط نورد متفاوت در نظر گرفته شد و قبل از انجام هر پاس فرایند نورد و همچنین در حین آزمایش، اطلاعات اولیه مورد تیاز مشخص گردید. این اطلاعات برای چهار پاس نورد صورت گرفته بر روی کویل مذبور، در جدول ۱ نشان داده شده است.

در ادامه با قرار دادن این داده‌های اولیه در نرم افزار *MATROLL*، منحنی‌های تپه فشار برای هر چهار پاس نورد صورت گرفته شده رسم گردیدند.

۳- نتایج و بحث

پس از انجام آزمایش فشار در حالت کرنش صفحه‌ای بر روی نمونه آلومینیومی آنل شده، بر اساس نتایج بدست آمده، منحنی S-۲ برای آلیاژ ۳۰۰۳ آلومینیوم رسم شد که این منحنی در شکل ۴ نشان داده شده است.



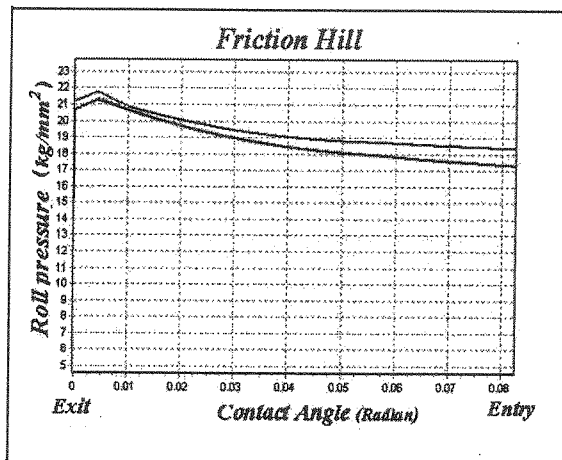
شکل(۴): منحنی تنش تسليم بر حسب درصد کاهش سطح برای آلیاژ ۳۰۰۳ آلومینیوم

در شکل ۵ نیز همین منحنی که از نتایج تحقیقات Larke [۱۲] به دست آمده ارائه شده است. با توجه به اینکه محقق این منحنی را برای آلومینیوم پیشنهاد داده است دیده می‌شود که منحنی بدست آمده در این پژوهش با تحقیقات Larke برابری خوبی دارد.

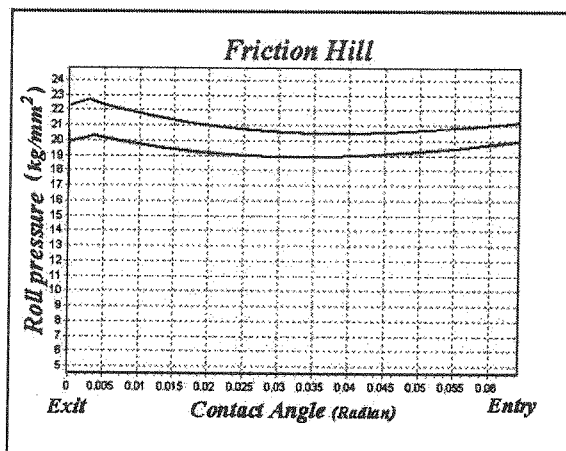
ورودی و خروجی ورق به طور مستقیم برای محاسبه ضریب اصطکاک استفاده می‌شود [۱۱]. همچنین از دیگر پارامترهای مهم در محاسبات نورد و از جمله ضریب اصطکاک مقدار لغزش به جلو می‌باشد. درصد لغزش به جلو واقعی را می‌توان از طریق علامت‌گذاری روی گلتک و سپس بررسی اثر آن روی ورق نورد شده بدست آورد [۸]. در تحقیق حاضر درصد لغزش به جلو با استفاده از تئوری‌های موجود برای نورد محاسبه می‌شود. در این تئوری‌ها جهت محاسبه لغزش به جلو، بیشتر اثر پارامترهایی مانند سرعت خروجی ورق نورد شده و سرعت خطی گلتکها را در نظر می‌گیرد [۷].

نرم افزار مورد بحث شامل یک فرم عمومی جهت شروع برنامه است که در این فرم، در آغاز نوع آلیاژ مورد نظر و همچنین نوع دستگاه نورد انتخاب می‌شود. دو فرم دیگر نیز برای هر پاس نورد جهت ورود اطلاعات اولیه در نظر گرفته شده است. اطلاعات این دو فرم شامل گروه آلیاژی، تعداد پاس‌های نورد، خصامت اولیه و نهایی ورق، عرض ورودی و خروجی ورق، قطر گلتک کاری، درجه حرارت اولیه ورق (درجه حرارت محیط)، سرعت خطی گلتک، ولتاژ و شدت جریان موتورهای جلوکش و عقبکش و همچنین ولتاژ و شدت جریان موتور اصلی نورد می‌باشد [۱۲]. پس از تکمیل و تأیید اطلاعات خواسته شده در این فرم‌ها، نتایج نورد شامل ۲۸ پارامتر مهم و موثر بر فرایند و همچنین منحنی‌های تپه فشار رسم شده در پنج فرم متالی نشان داده می‌شود. فرم هفتم از برنامه *MATROLL* برای هر پاس نورد، مربوط به رسم منحنی‌های تپه فشار توسط مدل است که برای دو حالت مختلف در نظر گرفته شده است. نمونه‌ای از هفتمین فرم از برنامه در شکل ۳ نمایش داده شده است.

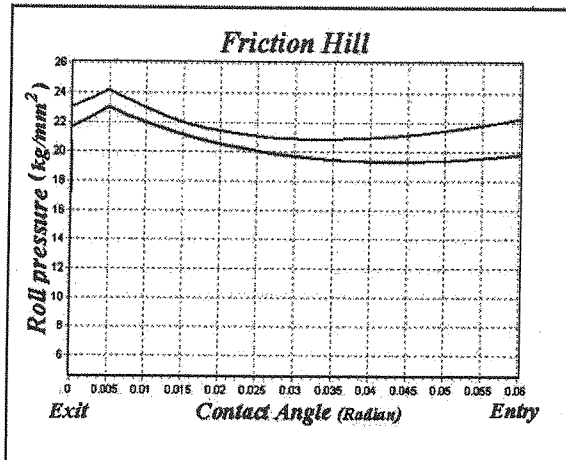
با توجه به شکل ۳، منحنی رسم شده در قسمت پایین مربوط به وقتی است که تنش‌های جلوکش و عقبکش به ورق در حال نورد وارد می‌شوند. همچنین برای بررسی اثر تنش‌های جلوکش و عقبکش منحنی تپه فشار بدون در نظر گرفتن نقش این تنش‌ها نیز توسط مدل رسم می‌شود منحنی رسم شده بالایی در این شکل مربوط به این حالت است. در دو طرف راست و چپ فرم ارائه شده در شکل ۳، مقادیر عددی استقاده شده برای رسم منحنی‌ها که توسط نرم افزار محاسبه شده‌اند آمده است. این مقادیر عددی شامل زاویه تماس بر حسب رادیان از صفر در نقطه خروجی تا مقدار ماکزیمم آن یعنی زاویه گیرش در نقطه ورودی ورق و همچنین فشار لازم برای نورد در هر زاویه از طول قوس تماس می‌باشند. همچنین در قسمت چپ منحنی رسم شده در فرم، سه دکمه در نظر گرفته شده است که این دکمه‌ها به ترتیب جهت افزایش بزرگنمایی،



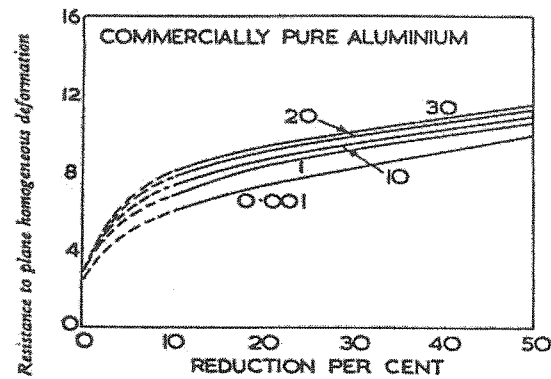
شکل(۷): منحنی تپه فشار رسم شده برای پاس دوم نورد (a)
منحنی بالا بدون اعمال کشش (b) منحنی پایین با اعمال کشش



شکل(۸): منحنی تپه فشار رسم شده برای پاس سوم نورد (a)
منحنی بالا بدون اعمال کشش (b) منحنی پایین با اعمال کشش



شکل(۹): منحنی تپه فشار رسم شده برای پاس چهارم نورد (a)
منحنی بالا بدون اعمال کشش (b) منحنی پایین با اعمال کشش



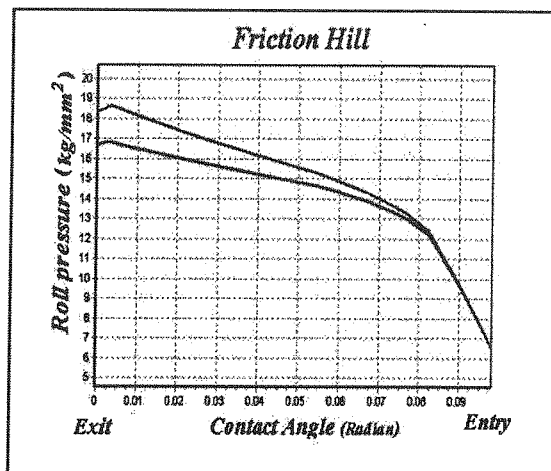
شکل(۵): منحنی تنفس تسیلیم بر حسب درصد کاهش سطح پیشنهاد
Larke [۱۲] شده

در جدول ۲ مقادیر محاسبه شده فشار ماکزیمم نورد
توسط نرم افزار MATROLL که مربوط به نقطه خنثی می باشد
نشان داده شده است.

جدول(۲): مقادیر محاسبه شده فشار در نقطه خنثی

	۴	۲	۲	۱	پاس نورد
	۲۲/۰	۲۰/۲	۲۱/۲	۱۶/۸	فشار ماکزیمم
					Kg/mm ²

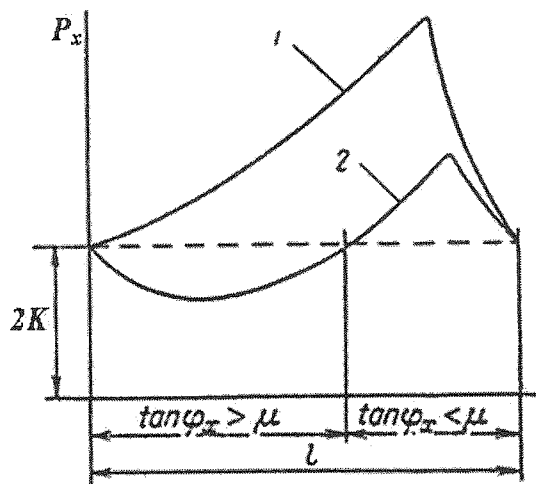
همچنین منحنی های تپه فشار رسم شده توسط مدل در
شکل های ۶ تا ۹ برای چهار پاس مختلف نورد صورت گرفته
شده نشان داده شده اند.



شکل(۶): منحنی تپه فشار رسم شده برای پاس اول نورد (a)
منحنی بالا بدون اعمال کشش (b) منحنی پایین با اعمال کشش

ورودی و قبل از نقطه خنثی دارای یک افت می‌باشد که قابل بحث خواهد بود و از این بابت نیز می‌توان نتایج مدل را با نتایج تحقیقات سایرین مقایسه نمود.

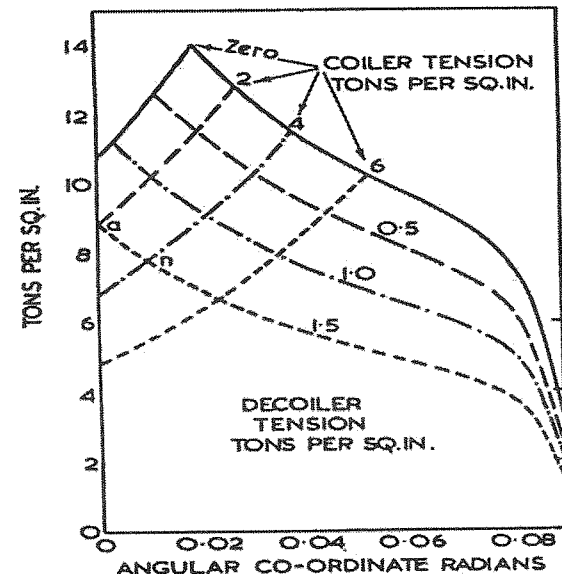
Tselikove [۱۴] در تحقیقات خود اشاره می‌کند که در منحنی‌های بلندی اصطکاک، یک افت در زاویه‌های نزدیک زاویه اصطکاک یا بزرگتر از آن دیده می‌شود. به عبارت دیگر برای حالتی اتفاق می‌افتد که زاویه تماس بزرگتر از زاویه اصطکاک باشد و در این صورت، فشار در همان قسمت از سطح تماس نسبت به حالتی که زاویه تماس روی کل قوس کوچکتر از زاویه اصطکاک باشد، مقداری افت دارد. نتایج حاصل از تحقیقات سایر محققین در این رابطه در شکل ۱۱ نشان داده شده است که دیده می‌شود در این مورد نیز برابری خوبی بین نتایج ارائه شده توسط نرم‌افزار MATROLL با نتایج سایرین وجود دارد. Tselikove بیان می‌کند که در چنین شرایطی تنش طولی متغیر σ_x که در منطقه تغییر شکل به ورق وارد می‌شود، نه تنها به نیروهای اصطکاکی در سطح تماس بلکه به تغییرات مولفه افقی فشار P_x وارد بر سطح تماس نیز وابسته خواهد بود. شایان گفتن است که این شکل جالب منحنی همیشه در زاویه‌های گیرش بزرگتر از زاویه اصطکاک ظاهر خواهد شد. به عبارت دیگر، همزمان با کاهش فشار، نیروهای اصطکاکی نیز در این قسمت از سطح تماس دارای کاهش می‌شوند. اما پس از گذشتن از این منطقه دوباره فشار و نیروی اصطکاک زیاد می‌شود.



شکل (۱۱): توزیع تئوری فشار برای دو حالت مختلف روى قوس تماس [۱۲، ۱۳].

در تحقیق دیگری که این بار توسط Tselikove و همکارانش [۱۵] صورت گرفته است نیز استدلال مشابهی برای این شکل منحنی تپه فشار مطرح شده است. بنابراین مقایسه و برابری

با توجه به شکل منحنی‌های تپه فشار رسم شده برای پاس‌های مختلف نورد دیده می‌شود شکل ۶ که مربوط به پاس اول نورد می‌باشد با سایر منحنی‌ها تفاوت دارد. این نتیجه با تحقیقات سایر پژوهشگران برابری دارد، طبق نظر Larke [۱۲] علت افت شدید منحنی‌های تپه فشار رسم شده برای پاس اول نورد، سرعت بالای تغییر شکل و افزایش کارسختی بعد از آنیل نیز در تحقیقات خود به آن اشاره می‌باشد که Rowe [۷] نیز در آنیل آلمینیوم ارائه شده توسط Larke آمده است، همانگونه که مشاهده می‌شود برابری بسیار خوبی بین نتایج حاصل از نرم‌افزار MATROLL و نتایج سایر محققین مشاهده می‌شود.



شکل (۱۰): منحنی تپه فشار رسم شده برای آلمینیوم پس از عملیات آنیل [۱۲]

بنابراین چون در پاس اول از ورقهای آنیل شده استفاده می‌شود بنابراین سرعت افزایش کارسختی نسبت به پاس‌های بعدی بیشتر است. در نتیجه، منحنی در قسمت ورودی ورق افت زیادی خواهد داشت که از این بابت نتایج نرم‌افزار ارائه شده با نتایج تحقیقات دیگران مطابقت دارد. با افزایش کارسختی و زیاد شدن تعداد پاس‌های نورد، به تدریج از این شبیه زیاد منحنی کاسته می‌شود که به عنوان نمونه می‌توان منحنی رسم شده برای پاس دوم نورد را با پاس اول مقایسه نمود.

نکته جالب دیگر مربوط به منحنی‌های رسم شده توسط نرم‌افزار MATROLL برای پاس‌های سوم و چهارم نورد یعنی شکل‌های ۸ و ۹ می‌باشد. با توجه به این شکل‌ها دیده می‌شود که منحنی‌های تپه فشار رسم شده در نزدیک نقطه

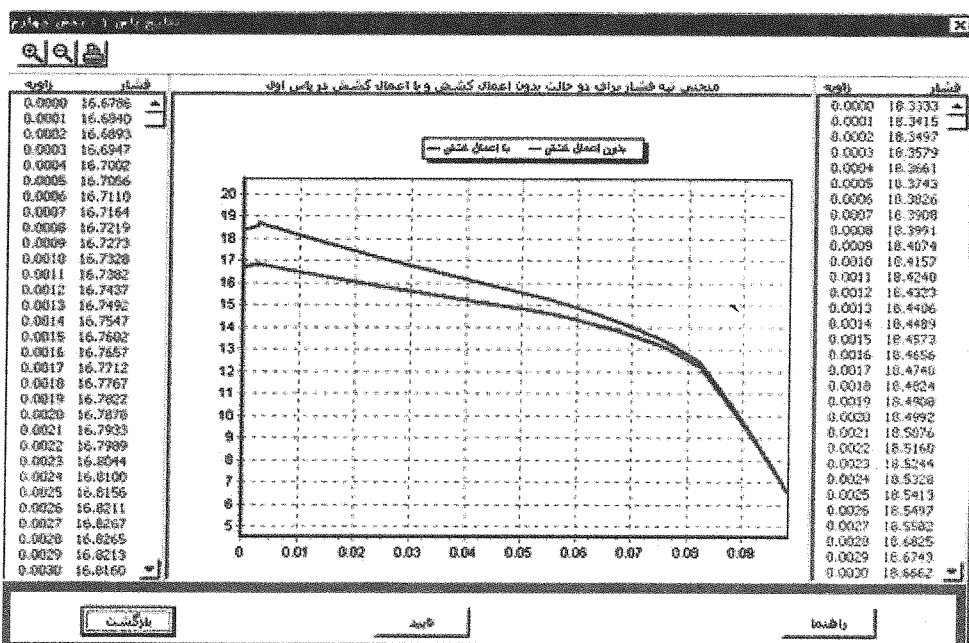
بسیار زیادی می‌باشد. جهت تایید صحت عملکرد نرم‌افزار اطلاعات واقعی مربوط به یک دستگاه نورد صنعتی به عنوان input استفاده شده و نتایج به دست آمده output برابر بسیار خوبی با نتایج ارائه شده توسط سایر محققین دارد.

۲. با مقایسه منحنی تپه فشار رسم شده برای آلومینیوم آنل شده در پاس اول نورد با نتایج تحقیقات دیگر پژوهشگران برایبری بسیار خوبی دیده می‌شود. این موضوع در مورد منحنی‌های تپه فشار رسم شده برای پاس‌های سوم و چهارم نورد نیز درست می‌باشد.

شكل منحنی‌های بدست آمده توسط نرم‌افزار برای پاس‌های سوم و چهارم با نتایج ارائه شده توسط محققین دیگر می‌تواند بیانگر عملکرد صحیح و مناسب نرم‌افزار ارائه شده در انجام محاسبات نورد و رسم منحنی‌های تپه فشار باشد.

۴- نتیجه

۱. منحنی‌های تپه فشار یا اصطکاک رسم شده توسط نرم-افزار MATROLL به علت انجام محاسبات دقیق در تعیین ضریب اصطکاک و انجام محاسبات فشار غلتکها در نقاط زیادی از طول قوس تماس (بیش از ۱۰۰۰ نقطه) دارای دقت



شکل(۳): هفتمین فرم برنامه مربوط به رسم منحنی تپه فشار در دو وضعيت با اعمال تنش‌های جلوکش و عقب‌کش و بدون اعمال اين تنش‌ها

جدول(۱): اطلاعات اولیه نورد واقعی برای پاس‌های مختلف کویل اول

۱	۲	۳	۴	شماره پاس نورد
-/۸۲۲	۱/۵۰۰	۱/۲۲۲	۱/۲۲۲	سرعت غلتکها
۶/۶۵	۴/۶۵	۲/۲	۲/۲	ضخامت ورودی ورق
۴/۶۵	۲/۲	۲/۲	۲/۲	ضخامت خروجی ورق
۲۰۰	۲۰۰	۲۰۰	۲۰۰	شعاع غلتک کاری
۶۷۰	۶۶۵	۷۰۰	۷۰۰	ولتاژ موتور نورد
۱۰۰۰	۸۰۰	۸۰۰	۸۰۰	شدت جریان موتور نورد
۱۶۵	۱۶۵	۱۹۰	۱۹۰	ولتاژ موتور جلوکش
۵۰۰	۴۶۰	۵۰۰	۵۰۰	شدت جریان موتور جلوکش
۹۵	۹۵	۸۰	۸۰	ولتاژ موتور عقب‌کش
۴۹۸	۴۹۸	۴۵۰	۴۵۰	شدت جریان موتور عقب‌کش
۲۰۰۰	۲۰۰۰	۲۰۰۰	۲۰۰۰	عرض غلتک کاری
۱۱۰۰	۱۰۸۰	۱۰۶۰	۱۰۵۰	عرض ورق

۵- مراجع

- [۱] Dehghani, K.; Abdollahi, H.; Abbasi, Sh.; "Analyzing the cold rolling of aluminum using a new software (MATROLL)", Journal of Materials Science Forum, Vols. 519-521, p.p. 1533-1538, 2006.
- [۲] Abdollahi Ali Beik, H.; Dehghani, K.; "Irregularity in Friction Hills during the Cold Rolling of Materials", International Journal of Material Forming, Springer Paris, Vol. 1, 2008.
- [۳] Avitzur, B.; Metal Forming: Processes and Analysis, 1st Edition, McGraw Hill Book Company, 1979.
- [۴] عبدالهی علی‌بیک، حسین؛ دهقانی، کامران؛ "تعیین ضریب اصطکاک در حین نورد صنعتی آلومینیوم با یک مدل کامپیوتری"، مجموعه مقالات هفتمین کنگره سالانه انجمن مهندسی متالورژی ایران، داشتگاه صنعتی شریف، ص ۵۳ تا ۶۰، مهرماه ۱۳۸۲
- [۵] Larke, E. C.; The Rolling of Strip, Sheet and Plate, Fletcher and Sons Ltd., Norwich, 1967.
- [۶] Tselikove, A.; Stress and Strain in Metal Rolling, MIR Publishers, Moscow, Russia, 1967.
- [۷] Tselikove, A.; Niktin, G. S.; Rokotian, S. E.; The Theory of Lengthwise Rolling, MIR Publishers, Moscow, Russia, 1981.
- [۸] Tieu, A. K.; Liu, Y. J.; "Friction Variation in the Cold-Rolling Process", Tribology International, Vol. 37, p.p. 177-183, 2004.
- [۹] Pawelski, H.; "Friction Inhomogeneities in Cold Rolling", Journal of Materials Processing Technology, Vols. 125-126, p.p. 392-397, 2002.
- [۱۰] Gao, H.; Ramalingam, S. C.; Barber, G. C.; Chen, G.; "Analysis of Asymmetrical Cold Rolling with Varying Coefficients of Friction", Journal of Materials Processing Technology, Vol. 124, p.p. 178-182, 2002.
- [۱۱] Liu, Y. J.; Tieu, A. K.; Wang, D. D.; Yuen, W. Y. D.; "Friction Measurement in Cold Rolling", Journal of Materials Processing Technology, Vol. 111, p.p. 142-145, 2001.
- [۱۲] Jiang, Z. Y.; Tieu, A. K.; "A 3-D Finite Element Method Analysis of Cold Rolling of Thin Strip with Friction Variation", Tribology International, Vol. 37, p.p. 185-191, 2004.
- [۱۳] Jiang, Z. Y.; Tieu, A. K.; Zhang, X. M.; Lu, C.; Sun, W. H.; "Finite Element Simulation of Cold Rolling of Thin Strip", Journal of Materials Processing Technology, Vol. 140, p.p. 542-547, 2003.
- [۱۴] Rowe, G. R.; Principles of Industrial Metalworking Processes, 1st Edition, Poland, 1969.
- [۱۵] Wusatowski, z.; Fundamentals of Rolling Principles of Industrial Metalworking Processes, 1st Edition, Edward Arnold Ltd., UK, 1977.